

# 浙江大学

## 本科实验报告

喇叭天线的幅射特性测量及 CST 仿真

课程名称： 电磁场与电磁波

---

姓 名： 姚桂涛

---

学 院： 信息与工程学院

---

专 业： 信息工程

---

学 号： 3190105597

---

指导老师： 王子立

---

2021 年 6 月 24 日

# 浙江大学实验报告

专业：信息工程  
姓名：姚桂涛  
学号：3190105597  
日期：2021年6月24日  
地点：东 4-221

课程名称：电磁场与电磁波 指导老师：王子立 成绩：  
实验名称：喇叭天线的辐射特性测量及 CST 仿真 实验类型： 同组学生姓名：

## 矩形波导馈电的角锥喇叭天线 CST 仿真

### 一、实验目的

- (1) 了解并掌握波导喇叭天线的常用参数指标和分析方法。
- (2) 了解熟悉 CST 软件的基本使用方法，学会运用其进行建模、仿真。

### 二、实验任务

用 CST 软件对特定的巨型波导喇叭天线进行建模、仿真，分析其辐射特性，并与喇叭天线辐射特性测量实验进行比较。

### 三、实验过程与结果

#### 1. 模型建立

##### 1.1 建立工程

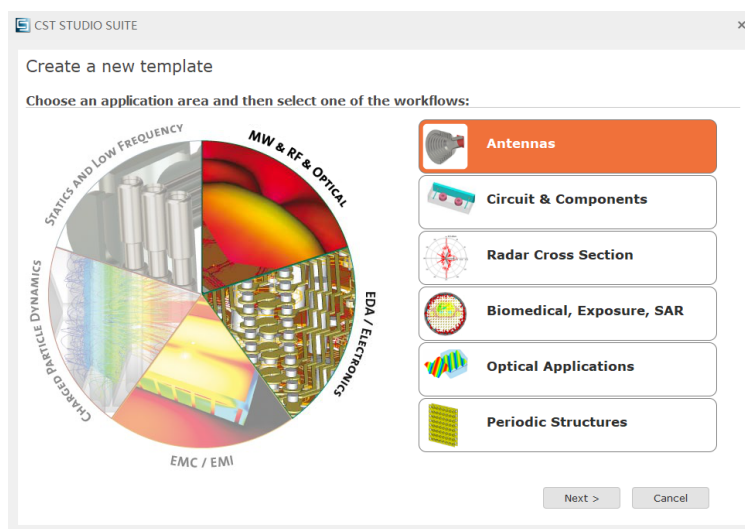


图 1

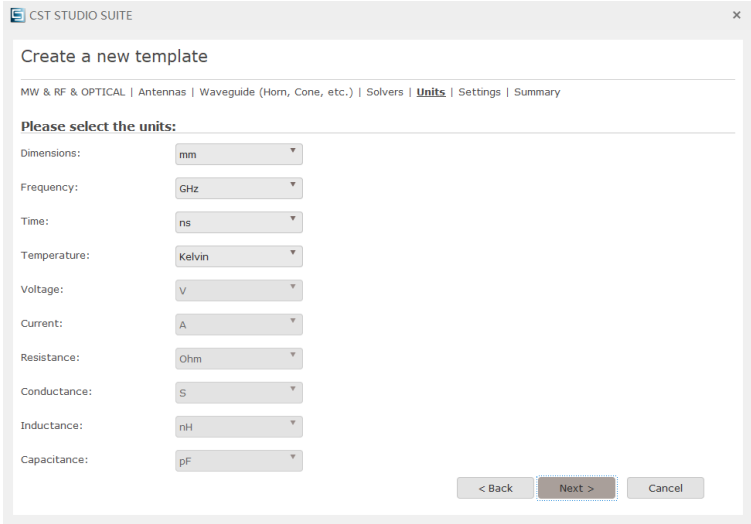


图 2

1.2 参数设置

Parameter List					
Name	Expression	Value	Description	Type	
a	= 22.86	22.86		None	▼
t	= 1	1		None	▼
b	= 10.16	10.16		None	▼
Lambda	= 29.1	29.1		None	▼
DH	= 80	80		None	▼
DE	= 38	38		None	▼
L	= 80	80		None	▼

图 3

### 1.3 创建矩形

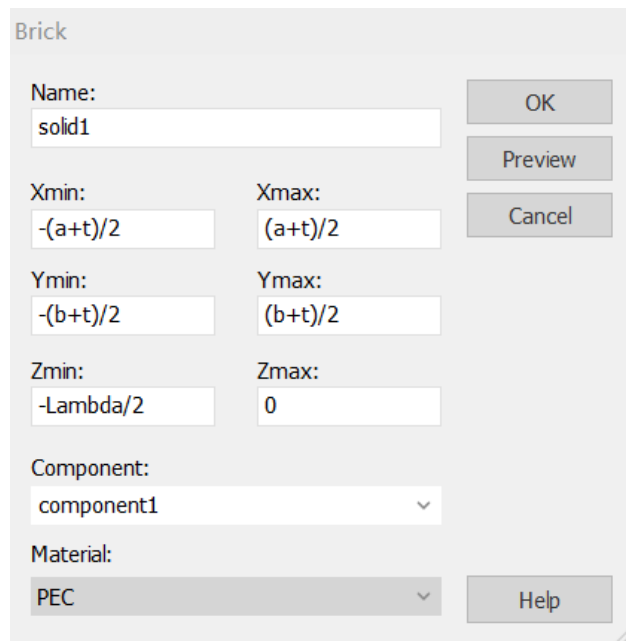


图 4

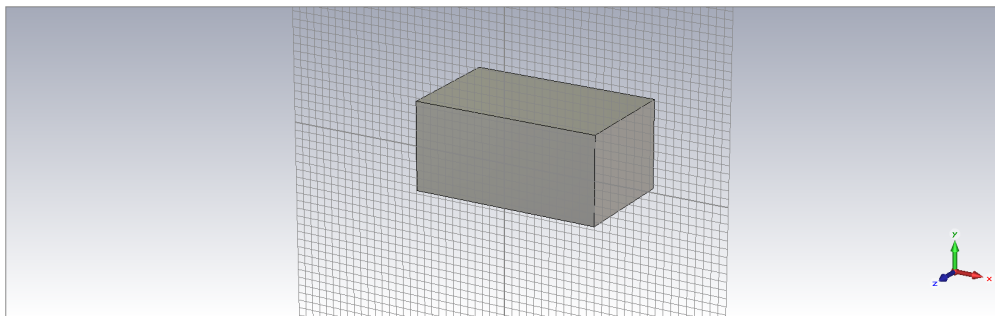


图 5

### 1.4 建立喇叭模型

建立喇叭口径面

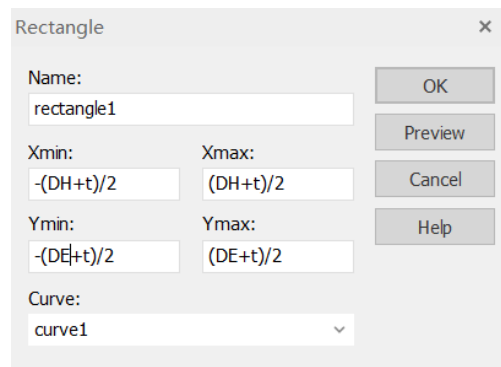


图 6

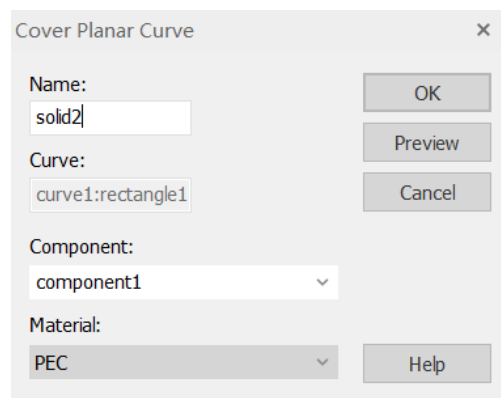


图 7

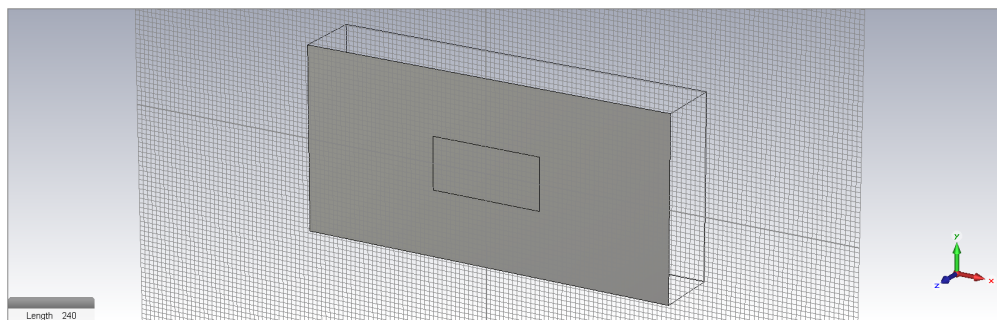


图 8

设置喇叭口径面的空间位置

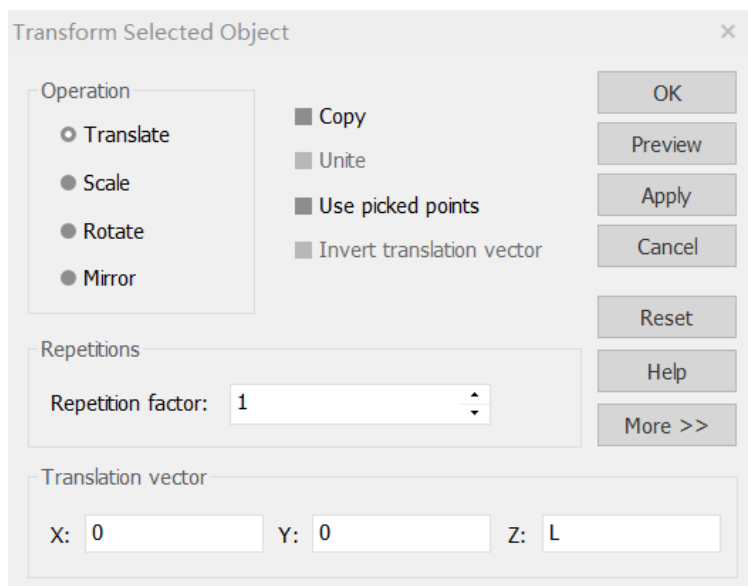


图 9

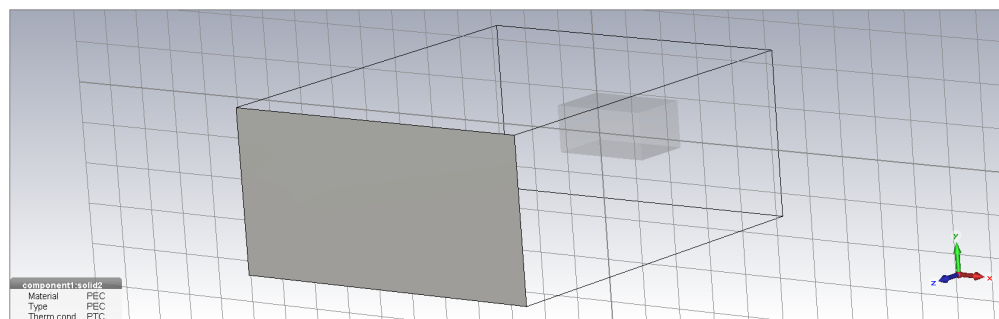


图 10

创建喇叭侧壁

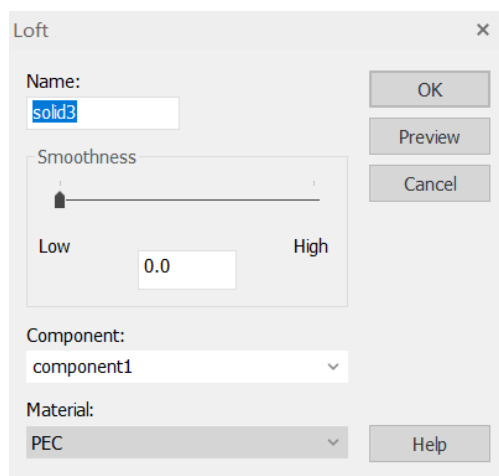


图 11

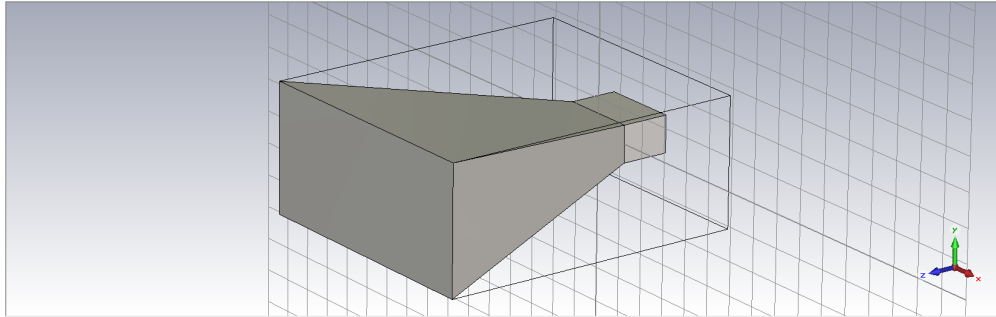


图 12

掏空

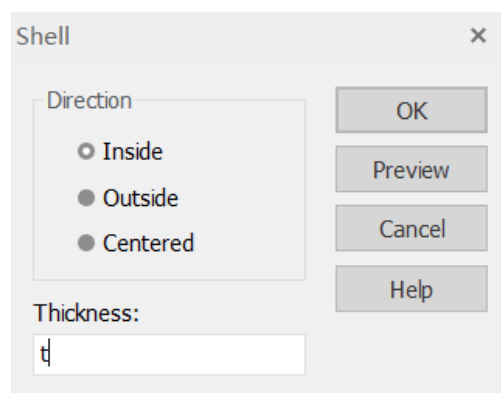


图 13

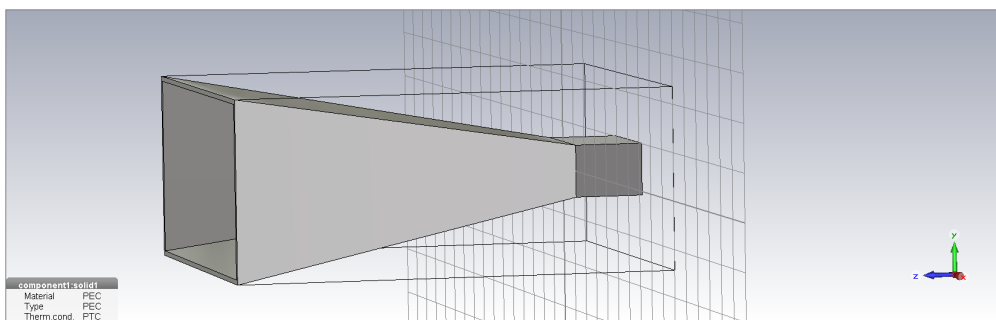


图 14

## 2. 仿真分析

### 2.1 仿真条件设置

仿真频率

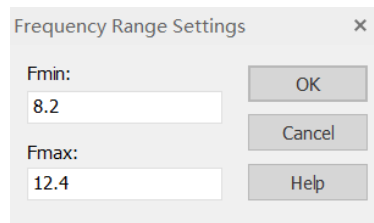


图 15

仿真边界条件

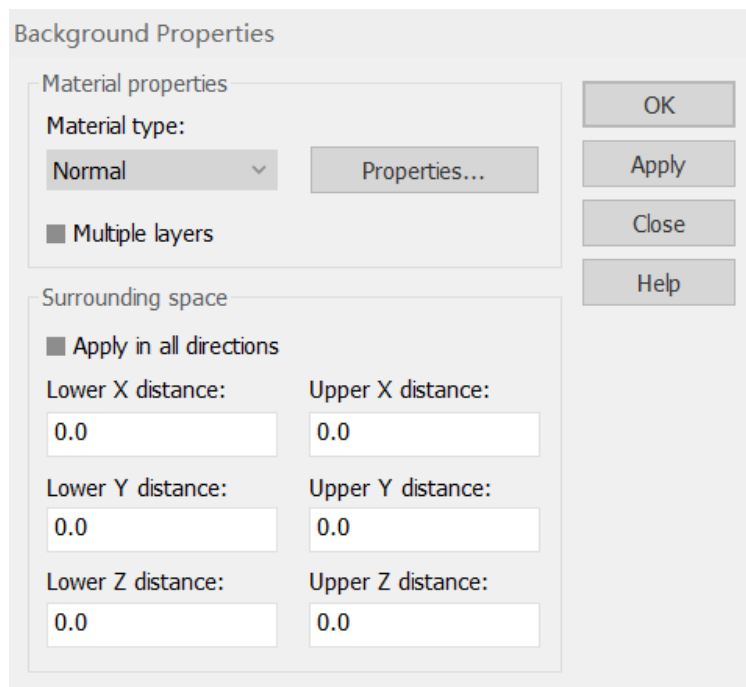


图 16



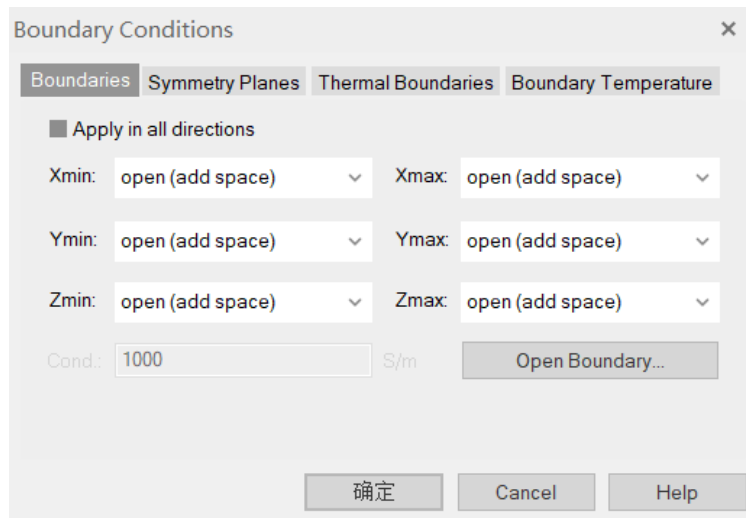


图 17

端口设置

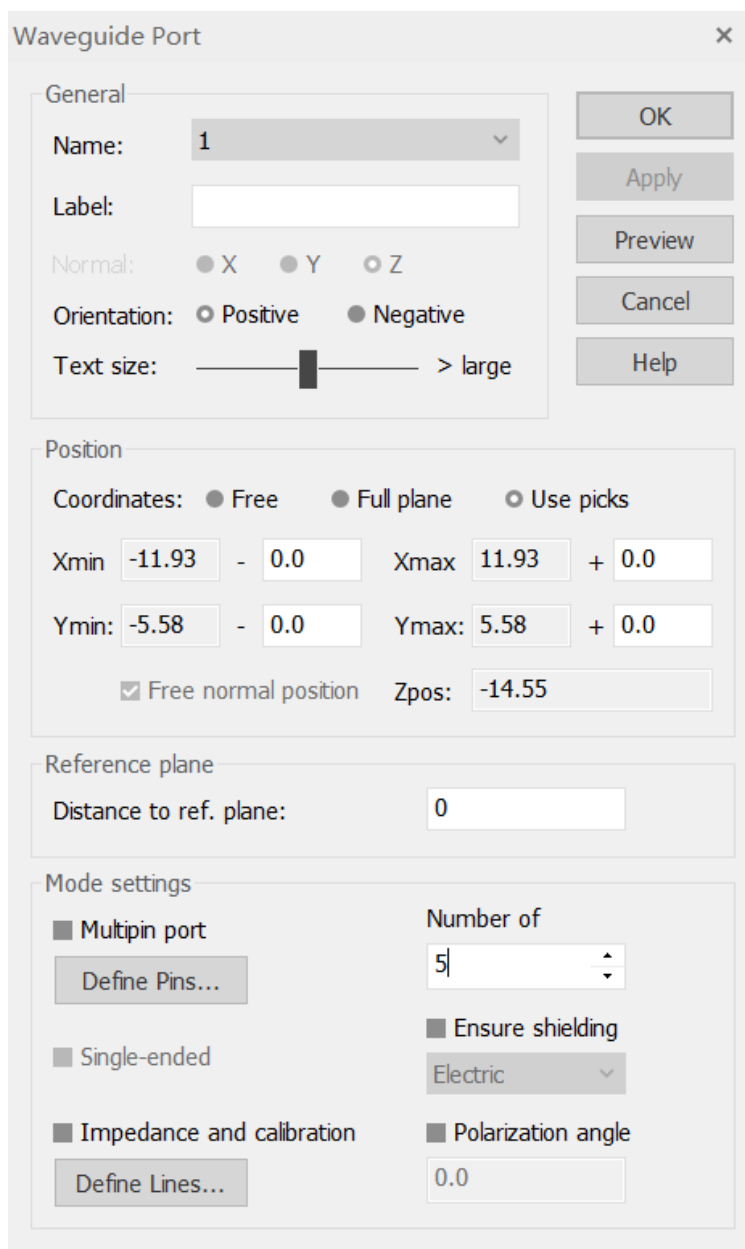


图 18

设置监视器

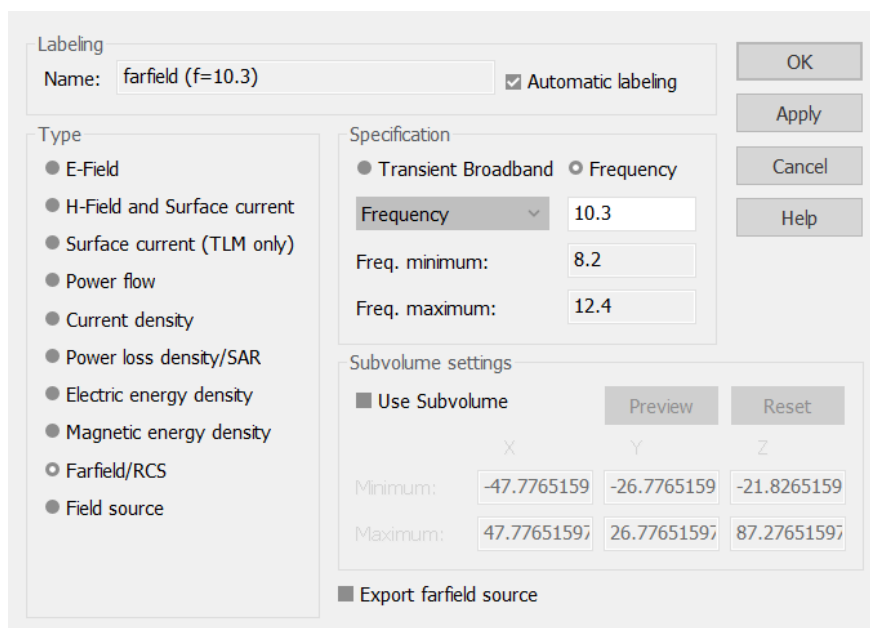


图 19

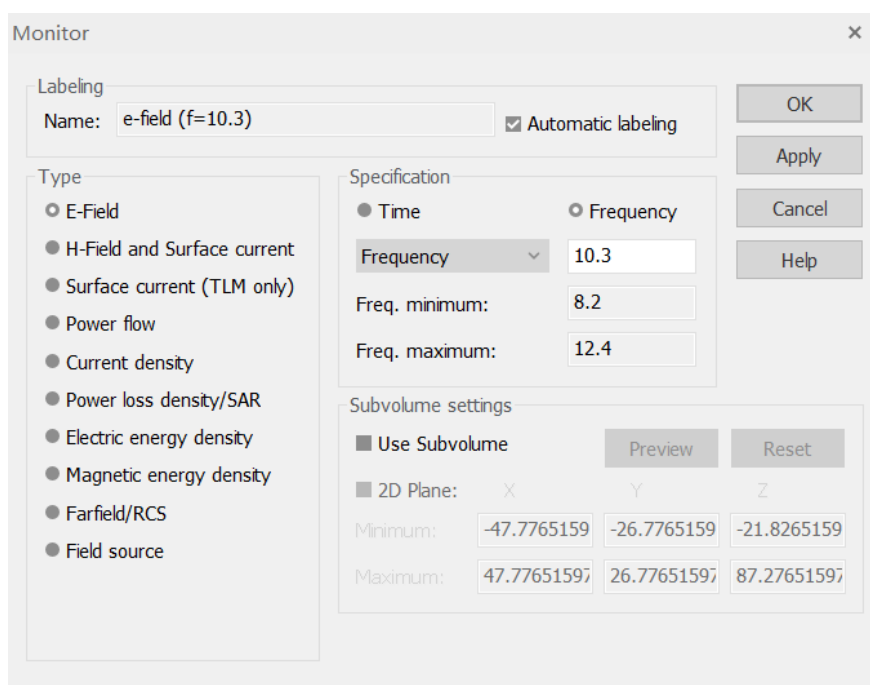


图 20

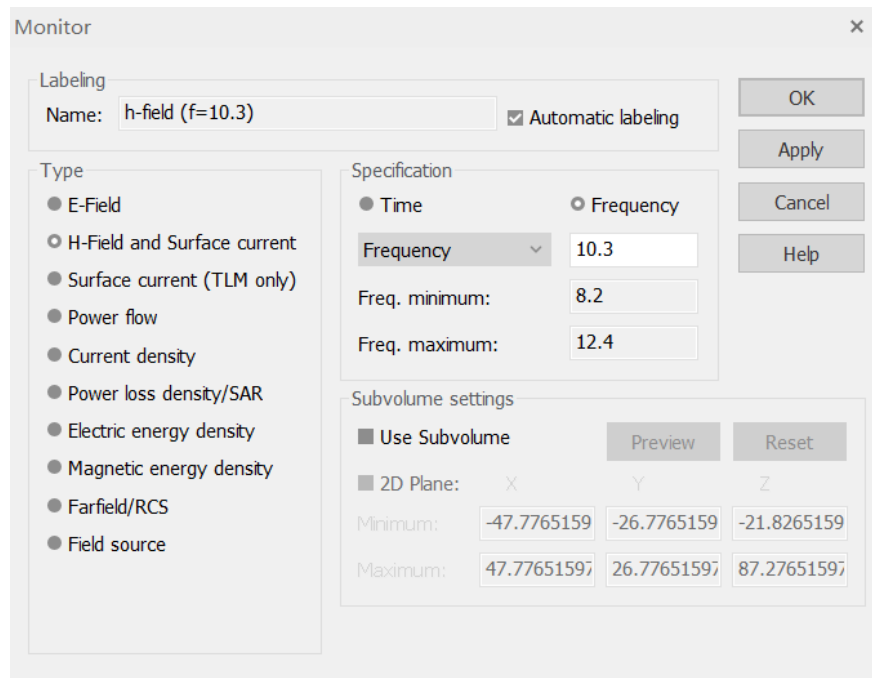


图 21

2.2 模式分析

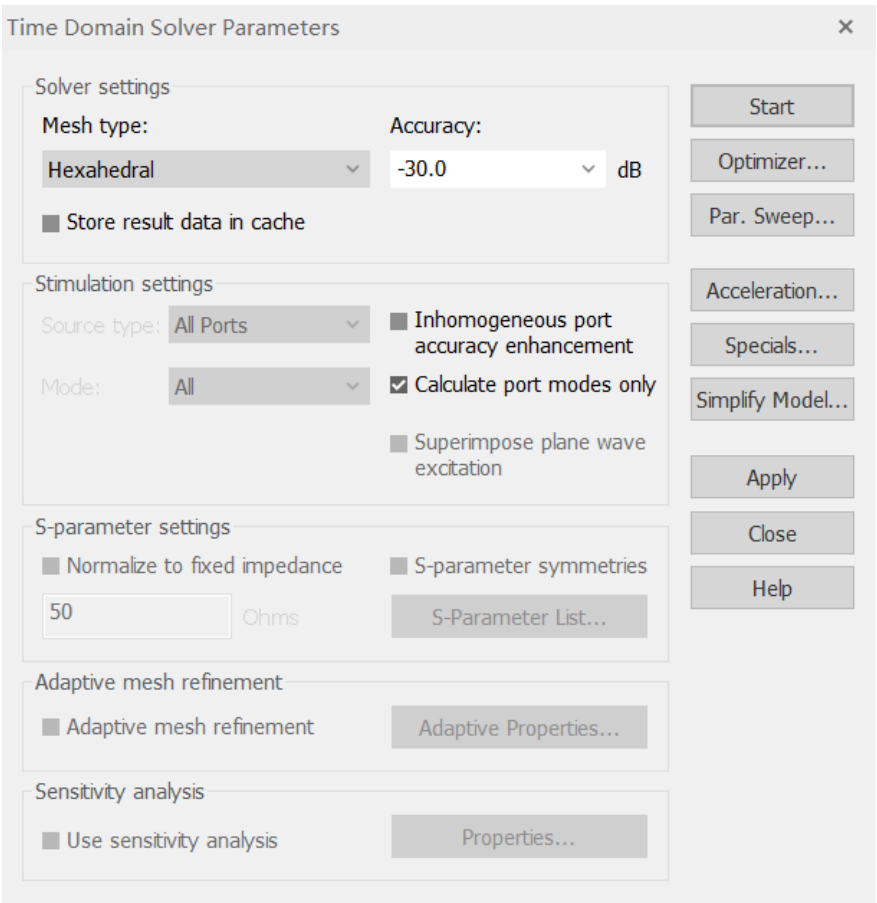


图 22

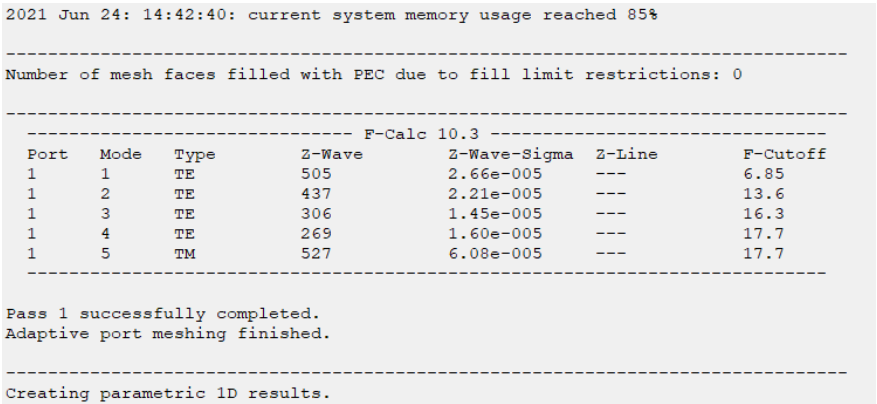


图 23

由于仿真最高频率为 12.4GHz，所以在这种结构的喇叭天线中只传输 1 种模式的波，设置的吸收的模式数只要大于 1 就可以了。

## 2.3 仿真设置

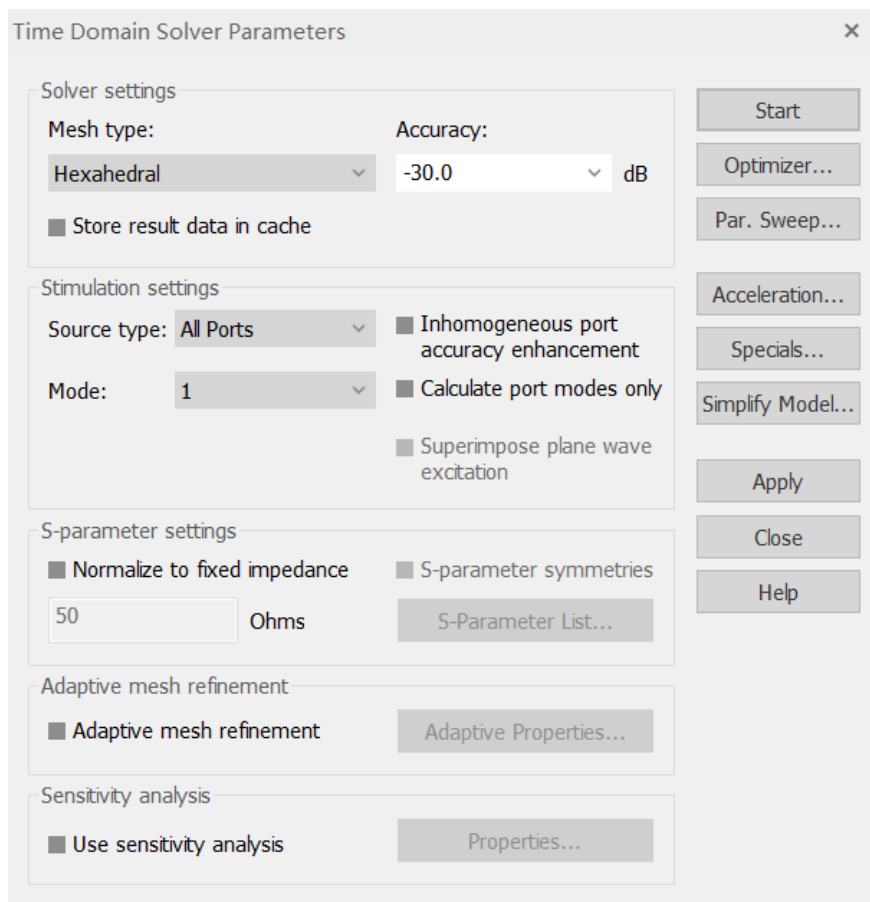


图 24

## 3. 仿真结果

### 3.1 $S_{11}$ 曲线

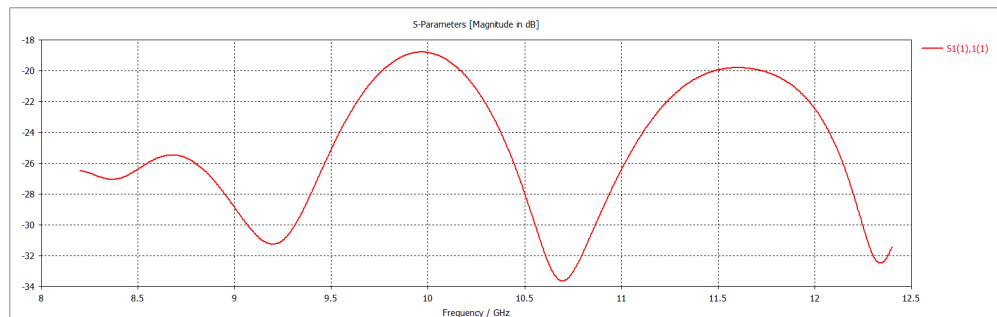


图 25

3.2  驻波曲线

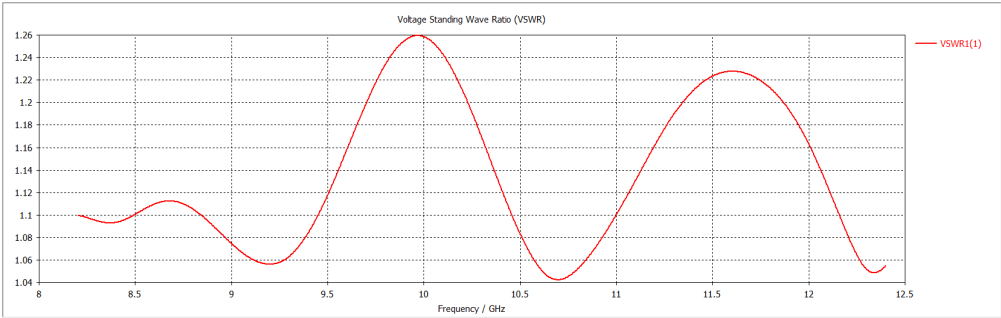


图 26

3.3  方向图

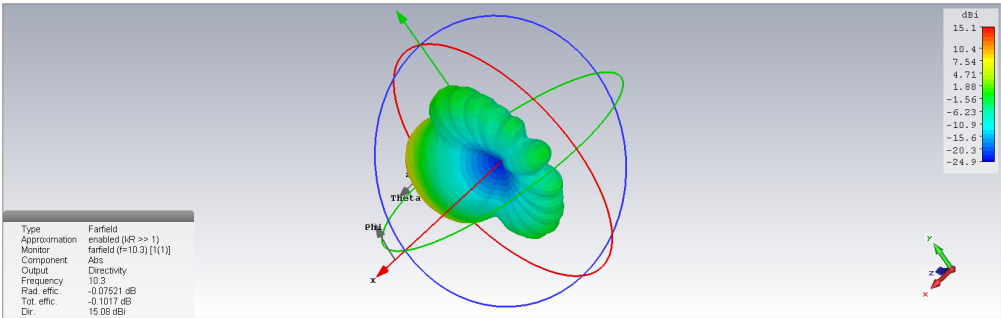


图 27

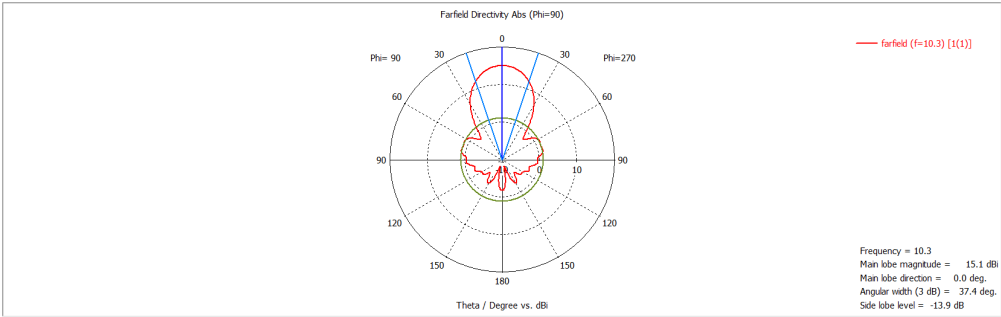


图 28

## 3.4 增益图

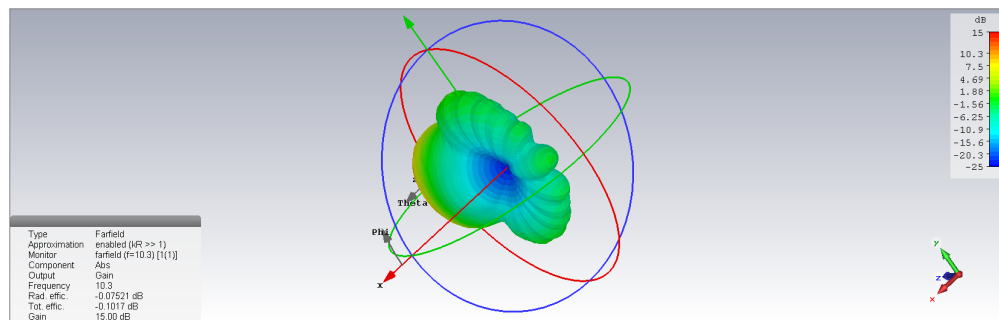


图 29

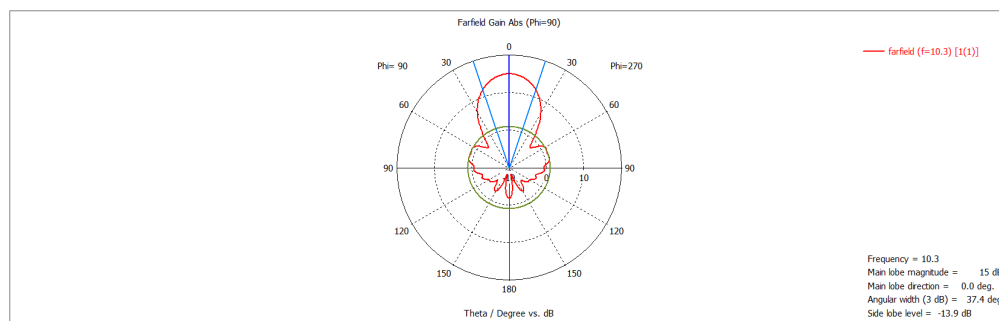


图 30

## 3.5 E-field, H-field, surface current 图

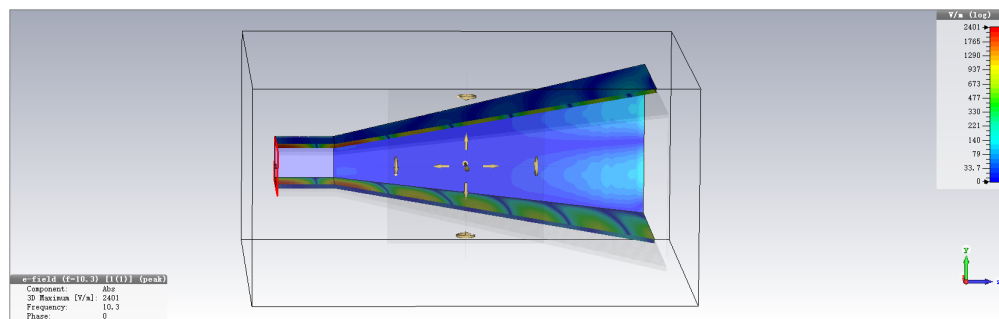


图 31 e-field



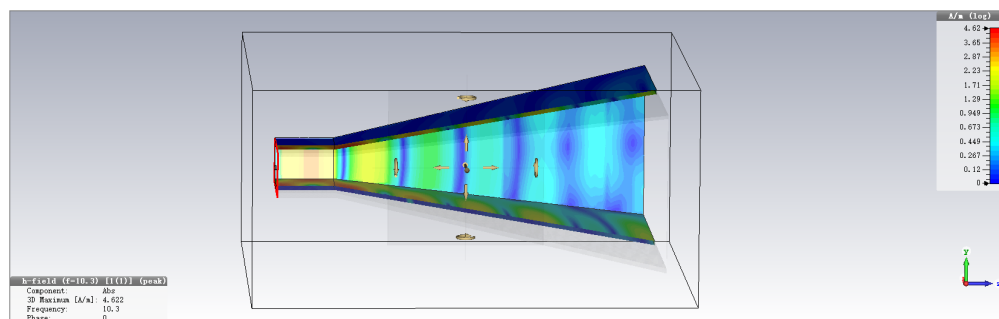


图 32 h-field

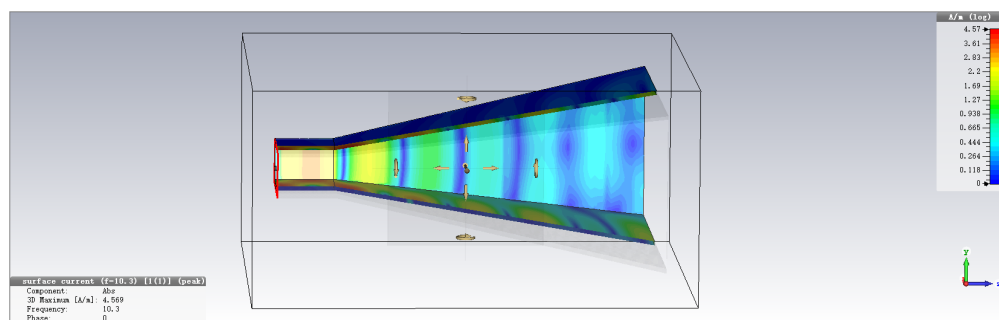


图 33 surface current

#### 4. 分析结论

从仿真结果来看，该矩形波导馈电的角锥喇叭天线的主瓣方向为  $\varphi = 0^\circ$ ,  $\theta = 0^\circ$ ，主瓣宽度为  $37.4^\circ$ ，主瓣的最大增益为 15dB，最大增益的仿真值与理论估计值相近。同时，该天线输入端口的反射系数在工作频段内均在 20dB 以下，能够较好的工作。

### 四、 实验收获与体会

## 喇叭天线的辐射特性测量

### 一、 实验目的

揭示喇叭天线的辐射特性。

覆盖的基本概念：

- 天线辐射方向图
- 波束宽度
- 天线的极化特性
- 电磁波在空间传播中与距离的关系

## 二、 实验过程与结果

### 1. 电磁波在空间传播中与距离的关系测量

表 1 天线距离与接收功率关系

距离 R(m)	实验测量值 (dB)	相对归一化功率 (dB)
1.0	-40.0	0.0
1.1	-41.8	-1.8
1.2	-43.6	-3.6
1.3	-45.3	-5.3
1.4	-46.8	-6.8

### 2. 极化测量

#### 2.1 天线极化测量

表 2 发射喇叭天线极化特性

发射喇叭天线角度	实验测量值 (dB)	相对归一化功率 (dB)
0°	-40.0	0.0
10°	-47.0	-7.0
20°	-55.6	-15.6
30°	-61.6	-21.6
40°	-63.6	-23.6
50°	-68.4	-28.4
60°	-71.0	-31.0
70°	-76.0	-36.0
80°	-80.0	-40.0
90°	-80.0	-40.0

#### 2.2 极化栅网特性测量

表 3 极化栅网极化特性

极化栅网角度	实验测量值 (dB)	相对归一化功率 (dB)
0°	-40.0	0.0
90°	-69.3	-29.3
45°	-44.5	-4.5

3. 喇叭天线辐射方向图测量

表 4 天线水平方向图测量数据

天线水平方向转角 (°)	-90	-80	-70	-60	-50	-40	-30	-20	-10	0	10	20	30	40	50	60	70	80	90
实验测量值 (dB)	∞	∞	-80.0	-73.8	-74.0	-66.8	-57.8	-49.8	-43.0	-40.0	-44.2	-52.6	-61.0	-63.4	-66.8	-70.5	-77.5	-80.0	∞
相对归一化功率	∞	∞	-40.0	-33.8	-34.0	-26.8	-17.8	-9.8	-3.0	0.0	-4.2	-12.6	-21.0	-23.4	-26.8	-30.5	-37.5	-40.0	∞

表 5 天线垂直方向测量数据

天线垂直方向转角 (°)	-60	-50	-40	-30	-20	-10	0	10	20	30	40	50	60
实验测量值 (dB)	-68.6	-66.2	-65.5	-65.2	-58.6	-51.5	-50.0	-51.5	-57.2	-65.0	-66.0	-66.2	-69.0
相对归一化功率 (dB)	-18.6	-16.2	-15.5	-15.2	-8.6	-1.5	0.0	-1.5	-7.2	-15.0	-16.0	-16.2	-19.0

三、 思考题

四、 实验收获与体会